

(株) 大林組 技術研究所 菊地 敏男
 (株) 大林組 技術研究所 後藤 洋三
 前田建設工業 (株) 高森 貞彦

1. まえがき

橋梁全体を対象とした動的解析モデルの妥当性を検討するためには、実橋における振動実験や地震観測が必要である。しかし長大橋梁の場合、実地震観測は大がかりな装置を必要とするし、起振機実験からは、杆の振動は得られるが橋脚、周辺地盤の振動はほとんど得られないことも考えられ、有効なデータを得るには難しい。そこで著者等は人工地震観測によって、杭基礎長大橋梁の振動特性の把握を試みた。その結果、各測点において有効なデータを得ることができたのでここに報告する。

2. 橋梁及び地盤の概要

対象とした橋梁は、図-2 に示すようにセンタースパンが 150m(そのうち 70m ガーベルバー桁)で、標準橋面が 30.5m の 6 車線である。下部構造 図-1 は多柱式基礎を主体にしており、主要橋脚 P5 付近の地質図を示したもののが図-1 である。河床より 30m までは、N 値 0~3 の軟弱層であり、同層の下は砂層、粘土層、砂礫層となる。図-1

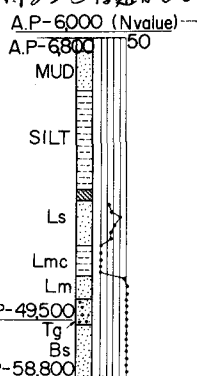


図-2 観測波形

測点は P4 で 4 点、P5 で 9 点、P6 で 13 点、P5 と P6 の中间軸上の 2 点であるが図-2 は、代表的な測点だけを示している。記号中、X は橋軸方向、Y は橋軸直角方向、Z は上下方向である。

動的計は主に固有周期 5 秒、2 秒のコイル型換振器と 2 秒まで測定可能な速度型ホモ型換振器を使用した。記録はすべてデータレコーダーで収録した。

4. 人工地震

人工地震は、東京都防災会議により行なわれたもので、震源は地下 100m のホーリング孔内、重量は 500kg である。

また震源から観測点までの距離は約 3.3km である。

5. 測定結果

データレコーダーに收められた記録は、A-D 変換器によりデジタル化を行ない、図-3 に示すような波形をプロッターで描いた。図-3 は橋軸直角方向に注

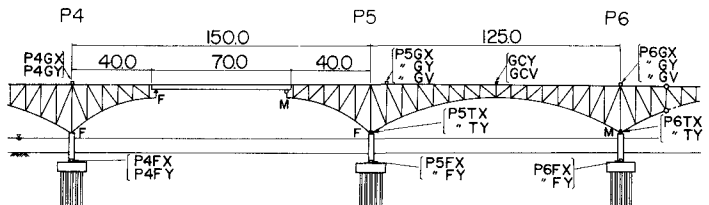
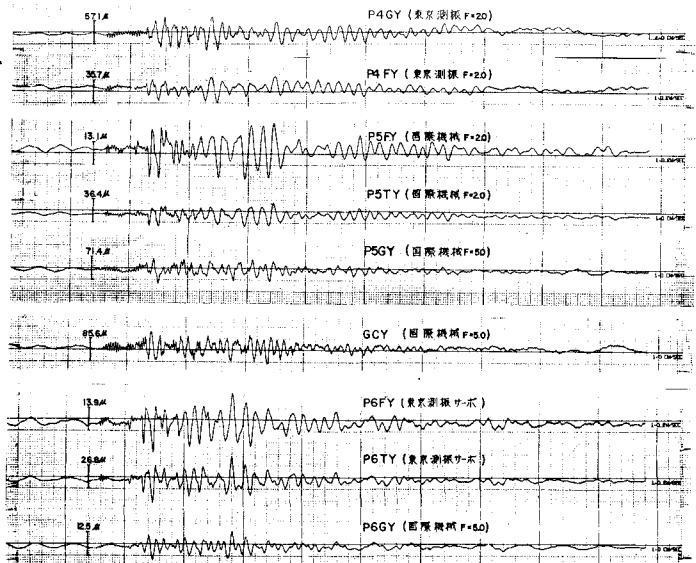


図-3

橋脚の概要図、計測器配置図

目した変位波形である。各測定の波形より最大値を読んでプロットしたもののが図-14である。最大値はフーチング、橋脚

断面上にはる程大きくなり、特に軸中央は著しく大きい。

6. スペクトル解析

波形より、代表的な測定のパワースペクトルを示したもののが図-4から図-9である。図中、実線は橋軸直角方向、点線は橋軸方向である。各図ともに高次振動が卓越せず0.9~2.0Hzに主なる卓抜振動数が集中している。各スペクトル図から主なる卓抜振動数を読み取ってまとめると図-13のようになる。各測定の振動特性は、比較的類似してある。前回の測定結果と同様、橋脚上の卓抜振動数は、地盤の卓抜振動数と一致してゐる。観測波形を検討した場合、波形の前半と後半では卓抜振動数の相違が見られており、ランニング Fourier スペクトルを求めると図-10から図-13のようになる。

その結果、波形の前半では橋脚独自の応答を示す1.4~1.7Hzが卓越し、後半は0.9~1.1Hzが卓越する。後半の卓抜振動数は、地盤に支配された橋脚の振動であることがわかる。

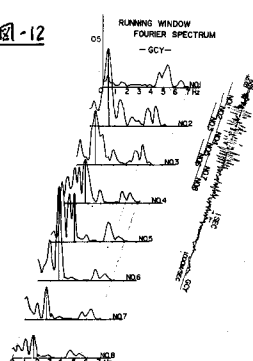
7.まとめ

人工地震観測結果よりまとめると、各測定での卓抜振動数は0.9~1.1Hzと1.4~2.0Hzに二分されてゐることが示される。さらに各測定での観測波形をランニング Fourier スペクトルから調べると、波形の前半では軸、橋脚の卓抜振動数と考えられる1.4~2.0Hzが卓越し、後半では周辺地盤の卓抜振動数と考えられ3.0~1~1.1Hzが卓越してゐることがわかる。したがって軟弱地盤中の杭基礎橋脚は、周辺地盤の影響を受けて振動することが明らかになつた。

<参考文献>

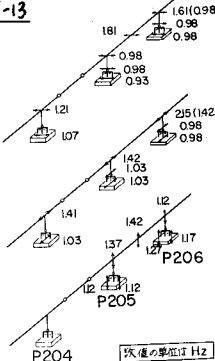
正木、當田、後藤、前田他「軟弱地盤中の杭基礎橋脚の振動特性」第4回日本地震工学シンポジウム講演概要、昭和50年11月

當田、菊池、高森「軟弱地盤中の杭基礎橋脚の振動特性(その1)実験結果」第3回國幹部年次研究発表会、昭和51年1月



人工地震応答の卓抜振動数

図-13



人工地震による最大応答位

図-14

